

МАТЕРІАЛИ ЕЛЕКТРОННОЇ ТЕХНІКИ

УДК 532.783

Т.В. Басюк¹, Л.О. Василечко¹, І.І. Сиворотка², В. Березовець³, С.В. Фадеєв¹

¹Національний університет “Львівська політехніка”,

кафедра напівпровідникової електроніки,

²НДЦ “Карат”,

³Фізико-механічний інститут ім. Г.В. Карпенка

ВЗАЄМОДІЯ РІДКІСНОЗЕМЕЛЬНИХ АЛЮМІНАТИВ В СИСТЕМАХ НА ОСНОВІ PRAIO_3 ТА LAALO_3

© Басюк Т.В., Василечко Л.О., Сиворотка І.І., Березовець В., Фадеєв С.В., 2009

T.V. Basyuk, L.O. Vasylechko, I. I. Syvorotka, V. Berezovets, S.V. Fadeev

INTERACTION OF RARE EARTH ALUMINATES IN THE PRAIO_3 - AND LAALO_3 -BASED SYSTEMS

© Basyuk T.V., Vasylechko L.O., Syvorotka I.I., Berezovets V., Fadeev S.V., 2009

Комбінованим методом твердофазного синтезу на повітрі та дугової плавки в атмосфері Аргону виготовлено серію зразків складних оксидів $\text{Pr}_{1-x}\text{R}_x\text{AlO}_3$ і $\text{La}_{1-x}\text{R}_x\text{AlO}_3$ (R – рідкісноземельний елемент). Методами порошкової дифракції рентгенівського випромінювання та термічного аналізу досліджено кристалічну структуру, термічне розширення та фазові перетворення твердих розчинів $\text{Pr}_{1-x}\text{R}_x\text{AlO}_3$ і $\text{La}_{1-x}\text{R}_x\text{AlO}_3$ в широкому температурному діапазоні. Побудовано діаграми станів деяких псевдоподвійних систем $\text{PRAIO}_3-\text{RAIO}_3$ та $\text{LAALO}_3-\text{RAIO}_3$.

Series of $\text{Pr}_{1-x}\text{R}_x\text{AlO}_3$ and $\text{La}_{1-x}\text{R}_x\text{AlO}_3$ (R – rare earth element) specimens were prepared by a combination of solid-state reaction in air and arc-melting in Ar atmosphere. Crystal structure, thermal expansion and phase transformation of $\text{Pr}_{1-x}\text{R}_x\text{AlO}_3$ and $\text{La}_{1-x}\text{R}_x\text{AlO}_3$ solid solution have been investigated by means of X-ray powder diffraction technique and thermal analysis in wide temperature range. The phase diagrams of some $\text{PRAIO}_3-\text{RAIO}_3$ and $\text{LAALO}_3-\text{RAIO}_3$ pseudo-binary systems have been constructed.

Вступ

За кімнатної температури алюмінати рідкісноземельних елементів (РЗЕ) належать до трьох типів первоскитоподібних структур, а саме: ромбоедричної, просторова група (ПГ) $R-3c$, ($\text{R} = \text{La}, \text{Pr}, \text{Nd}$), ромбічної, ПГ $Pbm\bar{n}$ ($\text{R} = \text{Sm-Lu}, \text{Y}$) та тетрагональної, ПГ $I4/mcm$ (CeAlO_3) [1-3]. За високих температур (ВТ) в сполуках RAIO_3 ($\text{R} = \text{La}, \text{Ce}, \text{Pr}, \text{Nd}$) відбувається плавний фазовий перехід (ФП) із ромбоедричної до кубічної структури первоскиту. Для SmAlO_3 , GdAlO_3 і EuAlO_3 властивим є стрібкоподібний фазовий перехід першого роду із ромбічної в ромбоедричну структуру первоскиту. Багато низькотемпературних (НТ) фазових переходів спостерігаються тільки в алюмінатах церію та празеодиму [4-7].

Найдослідженішою серед псевдоподвійних систем алюмінатів рідкісноземельних елементів є система $\text{LaAlO}_3-\text{PRAIO}_3$. Перші високотемпературні рентгенодифрактометричні дослідження, проведенні на зразках $\text{La}_{0.65}\text{Pr}_{0.35}\text{AlO}_3$ та $\text{La}_{0.50}\text{Pr}_{0.50}\text{AlO}_3$ майже 40 років тому, показали існування в

них фазового переходу від ромбоедричної до кубічної структури за температур 1110 і 1233 К відповідно [8]. Високотемпературні фазові перетворення у твердих розчинах $\text{La}_{1-x}\text{Pr}_x\text{AlO}_3$ досліджувалися також методом порошкової дифракції нейtronного випромінювання [9]. Було встановлено, що температура ФП із ромбоедричної до кубічної структури перебуває в лінійній залежності від складу твердого розчину. У середині 1980-х років методами раманівської спектроскопії та оптичного поглинання в системі $\text{LaAlO}_3-\text{PrAlO}_3$ було виявлено низку низькотемпературних фазових перетворень від ромбоедричної до ромбічної, моноклінної та тетрагональної структур у діапазоні температур 210–49 К [10]. Нещодавні комплексні дослідження, проведені нами методами *in situ* низько- та високотемпературної дифракції синхротронного випромінювання та термічного аналізу в широкому діапазоні температур від 9 до 1600 К [11], дали змогу вперше встановити кристалічну структуру усіх температурних модифікацій твердих розчинів $\text{La}_{1-x}\text{Pr}_x\text{AlO}_3$, а також побудувати діаграму стану системи $\text{LaAlO}_3-\text{PrAlO}_3$.

Два низькотемпературні ФП із ромбоедричної в ромбічну та із ромбічної в моноклінну структури були виявлені у твердих розчинах $\text{Pr}_{1-x}\text{Nd}_x\text{AlO}_3$, що утворюються в системі $\text{PrAlO}_3-\text{NdAlO}_3$ [12]. Було встановлено, що температура цих фазових перетворень лінійно спадає зі зменшенням вмісту неодиму.

Взаємодія компонентів в системах $(1-x)\text{LaAlO}_3-x\text{EuAlO}_3$, $(1-x)\text{LaAlO}_3-x\text{GdAlO}_3$ та $(1-x)\text{PrAlO}_3-x\text{EuAlO}_3$ досліджувалась авторами [13]. За кімнатної температури в них виявлено два типи твердих розчинів із ромбічною та ромбоедричною структурою перовскиту, між якими існують області незмішуваності. Тверді розчини $\text{La}_{1-x}\text{Eu}_x\text{AlO}_3$ із $x < 0.5$ мають ромбоедричну структуру, а з $x > 0.65$ – ромбічну, тоді як в системі $\text{LaAlO}_3-\text{GdAlO}_3$ межа між цими двома перовскитними фазами є дуже вузькою і лежить близько $x \approx 0.38$. У системі $\text{PrAlO}_3-\text{EuAlO}_3$ тверді розчини із ромбоедричною і ромбічною структурою формуються за $x < 0.38$ і $x > 0.57$ відповідно. Літературні дані про термічну поведінку цих систем відсутні.

Дослідження кристалічної структури та температурної поведінки твердих розчинів у системах $\text{LaAlO}_3-\text{NdAlO}_3$ та $\text{LaAlO}_3-\text{SmAlO}_3$ в діапазоні температур 12–1173 К проведено нами в роботі [14]. Показано, що за кімнатної температури в системі $\text{LaAlO}_3-\text{NdAlO}_3$ існує неперервний твердий розчин заміщення із ромбоедричною структурою перовскиту, який переходить до кубічної структури за високих температур. У системі $\text{LaAlO}_3-\text{SmAlO}_3$ утворюються два типи твердих розчинів $\text{La}_{1-x}\text{Sm}_x\text{AlO}_3$ із ромбоедричною ($0 \leq x < 0.6$) та ромбічною ($0.6 < x \leq 1$) структурами, яким притаманні ВТ фазові перетворення до кубічної та ромбоедричної структур відповідно. Встановлено, що температури цих ФП лінійно зростають із зменшенням вмісту лантану. Наведено діаграми стану систем $\text{LaAlO}_3-\text{NdAlO}_3$ та $\text{LaAlO}_3-\text{SmAlO}_3$.

Мета роботи – дослідити кристалічну структуру твердих розчинів, що утворюються в системах $\text{PrAlO}_3-\text{RAI}_3$ та $\text{LaAlO}_3-\text{RAI}_3$ ($\text{R} = \text{La}-\text{Lu}$, Y) в широкому температурному діапазоні, встановити вплив катіонного заміщення на параметри кристалічної структури, термічного розширення та фазові перетворення в цих системах, а також побудувати діаграми стану відповідних систем на основі отриманих результатів.

Методика експерименту

Для досягнення поставленої мети було виготовлено серію зразків $\text{Pr}_{1-x}\text{R}_x\text{AlO}_3$ та $\text{La}_{1-x}\text{R}_x\text{AlO}_3$ ($x = 0,03 - 0,9$) комбінованим методом твердофазного синтезу на повітрі та дугової плавки в атмосфері Аргону. Вихідними реагентами для приготування зразків були оксиди РЗЕ та алюмінію. Старанно усереднені суміші оксидів, взяті у стехіометричних співвідношеннях, були спресовані в таблетки діаметром 7 мм і відпалені на повітрі за температури 1100 К протягом 10–20 годин. Для досягнення повноти синтезу та кращої гомогенізації зразків вони були додатково переплавлені в електродуговій печі в атмосфері Аргону. Фазовий аналіз зразків та дослідження їх кристалічних

структур за кімнатної температури проводили методом рентгенівської порошкової дифракції з використанням дифрактометра Гінє G670, обладнаного *Huber Image Plate* детектором (Інститут Макса Планка хімічної фізики твердого тіла, м. Дрезден, Німеччина) або рентгенівського дифрактометра ДРОН-ЗМ (кафедра НПЕ, Національний університет "Львівська політехніка"). Низько- та високотемпературні дослідження кристалічних структур та фазових перетворень проводили методом *in situ* порошкової дифракції високого розділення з використанням синхротронного випромінювання на експериментальній станції B2 в синхротронній лабораторії HASYLAB (м. Гамбург, Німеччина). Розрахунки параметрів елементарних комірок, координат атомів та теплових параметрів проводились повнопрофільним методом Рітвельда із застосуванням пакета програм WinCSD [15]. Диференціальний термічний аналіз та диференціальна скануюча калориметрія (ДТА/ДСК) були проведенні на термічному аналізаторі STA 409 (NETZSCH, Selb) із SiC-нагрівачем. ДТА криві були зняті за допомогою Pt10%Rh-Pt сенсора в температурному діапазоні від 300 до 1173 К. Швидкість зміни температури становила 10 або 20 К/хв. ДСК сенсор використовувався для високочутливих вимірювань за температур, нижчих за 1573 К.

Результати досліджень

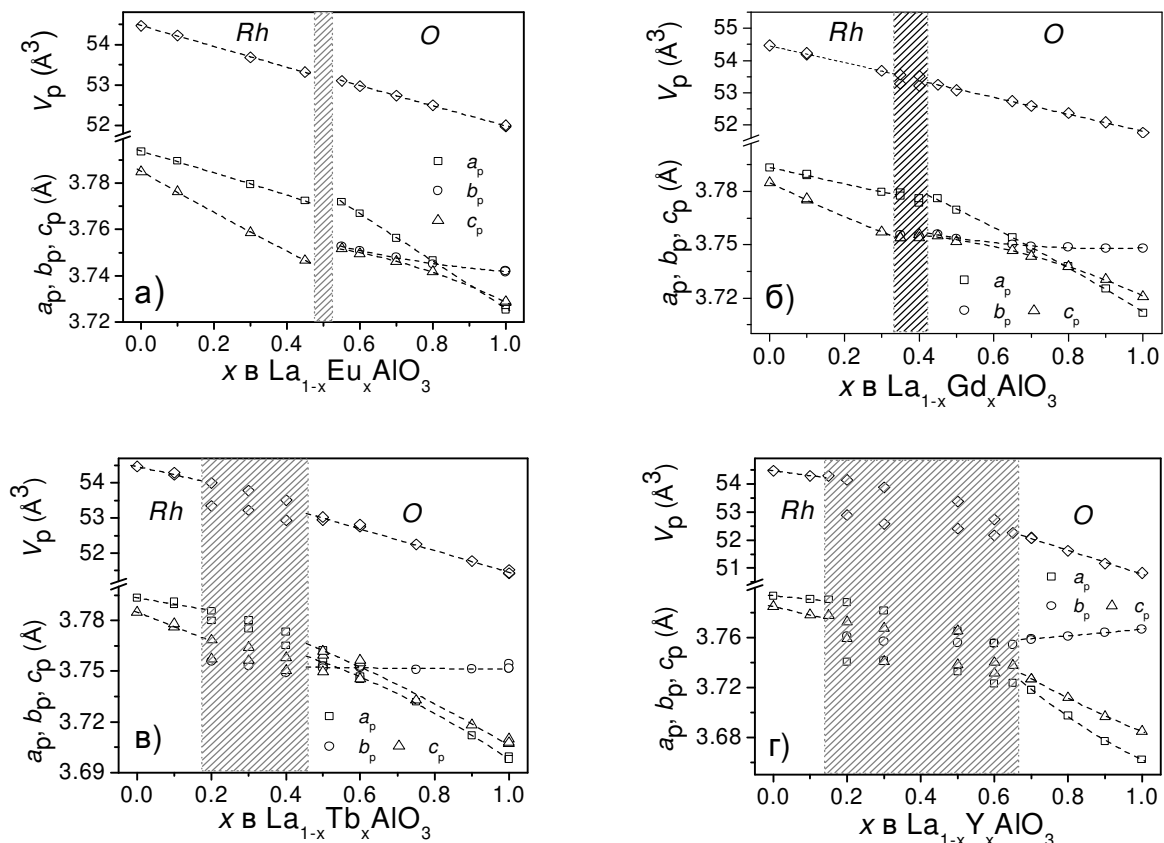


Рис. 1. Концентраційні залежності параметрів і об'єму елементарних комірок твердих розчинів $\text{La}_{1-x}\text{R}_x\text{AlO}_3$ за кімнатної температури. Параметри ромбоедричної (Rh) та ромбічної (O) елементарних комірок приведені до перовскитної псевдокомірки відповідно до співвідношень

$$a_p = a_r \sqrt{2}, c_p = c_r \sqrt{12}; V_p = V_r / 6; a_p = a_o \sqrt{2}; b_p = b_o \sqrt{2}; c_p = c_o / 2, V_p = V_o / 4$$

Проведені дослідження показали, що за кімнатної температури у системах $\text{LaAlO}_3-\text{RAIO}_3$ ($\text{R} = \text{Sm-Tb, Y}$) утворюється два типи твердих розчинів з ромбічною та ромбоедричною структурами (рис. 1). Між двома фазами із різними типами перовскитних структур існує область незмішуваності. Встановлено, що розміщення і протяжність цієї області залежить від різниці

величин іонних радіусів лантану та РЗЕ. Положення області співіснування двох фаз зміщується в бік алюмінату лантану, а ширина її збільшується зі зменшенням іонного радіуса R-катіону. Параметри і об'єм елементарних комірок твердих розчинів $\text{La}_{1-x}\text{R}_x\text{AlO}_3$ ($\text{R} = \text{Nd}-\text{Tb}$) монотонно спадають, зі збільшенням вмісту РЗЕ, тоді як у системах $\text{LaAlO}_3-\text{RAIO}_3$ ($\text{R} = \text{Dy}-\text{Lu}, \text{Y}$) об'єм і параметри a , c спадають зі збільшенням вмісту РЗЕ, а параметр b у ромбічній сингонії – зростає (рис. 1, ε).

У системах $\text{PrAlO}_3-\text{LaAlO}_3$ та $\text{PrAlO}_3-\text{NdAlO}_3$ у всьому концентраційному діапазоні утворюються тверді розчини з ромбоедричною структурою (рис. 2, a). Два типи твердих розчинів із ромбоедричною і ромбічною структурою (рис. 2, b , c) існують в системах $\text{PrAlO}_3-\text{RAIO}_3$ ($\text{R} = \text{Sm}, \text{Eu}, \text{Gd}$), тоді як в системах $\text{PrAlO}_3-\text{RAIO}_3$ ($\text{R} = \text{Tb}-\text{Lu}, \text{Y}$) утворюються тверді розчини із ромбоедричною ($R\bar{3}c$) і двома різними ромбічними ($Pbm\bar{n}, Imma$) структурами (рис. 2, ε). Параметри і об'єми елементарних комірок сполук $\text{Pr}_{1-x}\text{R}_x\text{AlO}_3$ ($\text{R} = \text{La}, \text{Nd}, \text{Sm}, \text{Eu}$) монотонно спадають зі зменшенням середнього радіуса катіона РЗЕ. У твердих розчинах $\text{Pr}_{1-x}\text{R}_x\text{AlO}_3$ ($\text{R} = \text{Gd}-\text{Lu}, \text{Y}$) об'єм та параметри a і c елементарної комірки спадають зі збільшенням вмісту R, тоді як параметр b зростає.

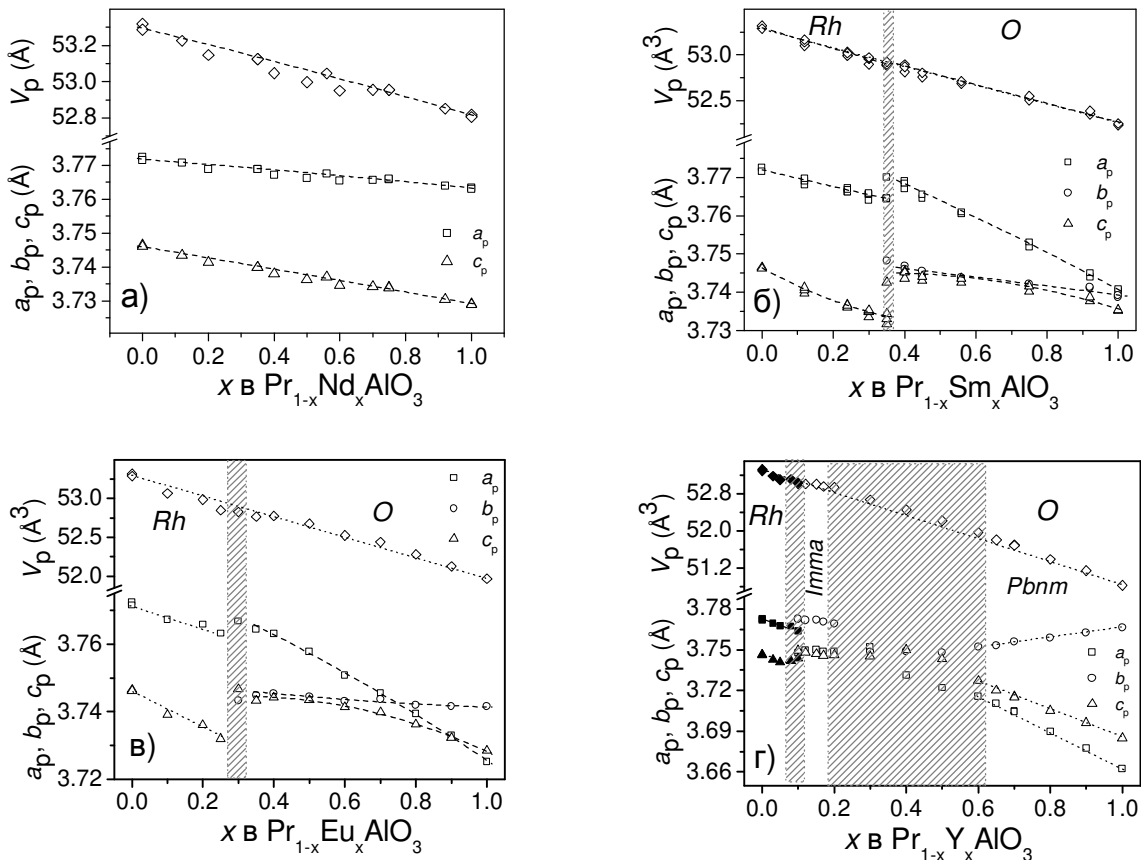


Рис. 2. Концентраційні залежності параметрів і об'єму елементарних комірок твердих розчинів $\text{Pr}_{1-x}\text{R}_x\text{AlO}_3$ за кімнатної температури. Параметри ромбоедричної (Rh) та ромбічної (O) комірок приведені до первовскитної псевдокомірки відповідно до співвідношень $a_p=a_o\sqrt{2}$, $c_p=c_o\sqrt{12}$, $V_p=V_o/6$; $a_p=a_o\sqrt{2}$, $b_p=b_o\sqrt{2}$; $c_p=c_o/2$, $V_p=V_o/4$ (для ПГ $Pbm\bar{n}$) і $a_p=a_o\sqrt{2}$, $b_p=b_o/2$; $c_p=c_o\sqrt{2}$, $V_p=V_o/4$ (для ПГ $Imma$)

Дослідження температурної поведінки твердих розчинів, проведені із використанням методів *in situ* НТ і ВТ синхротронної дифракції та ДТА/ДСК, виявили існування декількох типів структурних фазових перетворень. У системах на основі LaAlO_3 існують два фазові перетворення:

плавний фазовий перехід від ромбоедричної до кубічної структури (рис. 3, а) та стрибкоподібний перехід первого роду від ромбічної до ромбоедричної структури (рис. 3, б). У системах на основі PrAlO_3 , крім вищезгаданих фазових перетворень, спостерігається багато додаткових низькотемпературних переходів, а саме: $R\bar{3}c \leftrightarrow Imma$, $Imma \leftrightarrow I2/m$, $I2/m \leftrightarrow I4/mcm$, $R\bar{3}c \leftrightarrow I2/m$ та $R\bar{3}c \leftrightarrow I\bar{1}$ (рис. 3, в–е). Кристалічні характеристики різних модифікацій твердих розчинів, уточнені за даними порошкової дифракції синхротронного випромінювання, наведені у таблиці.

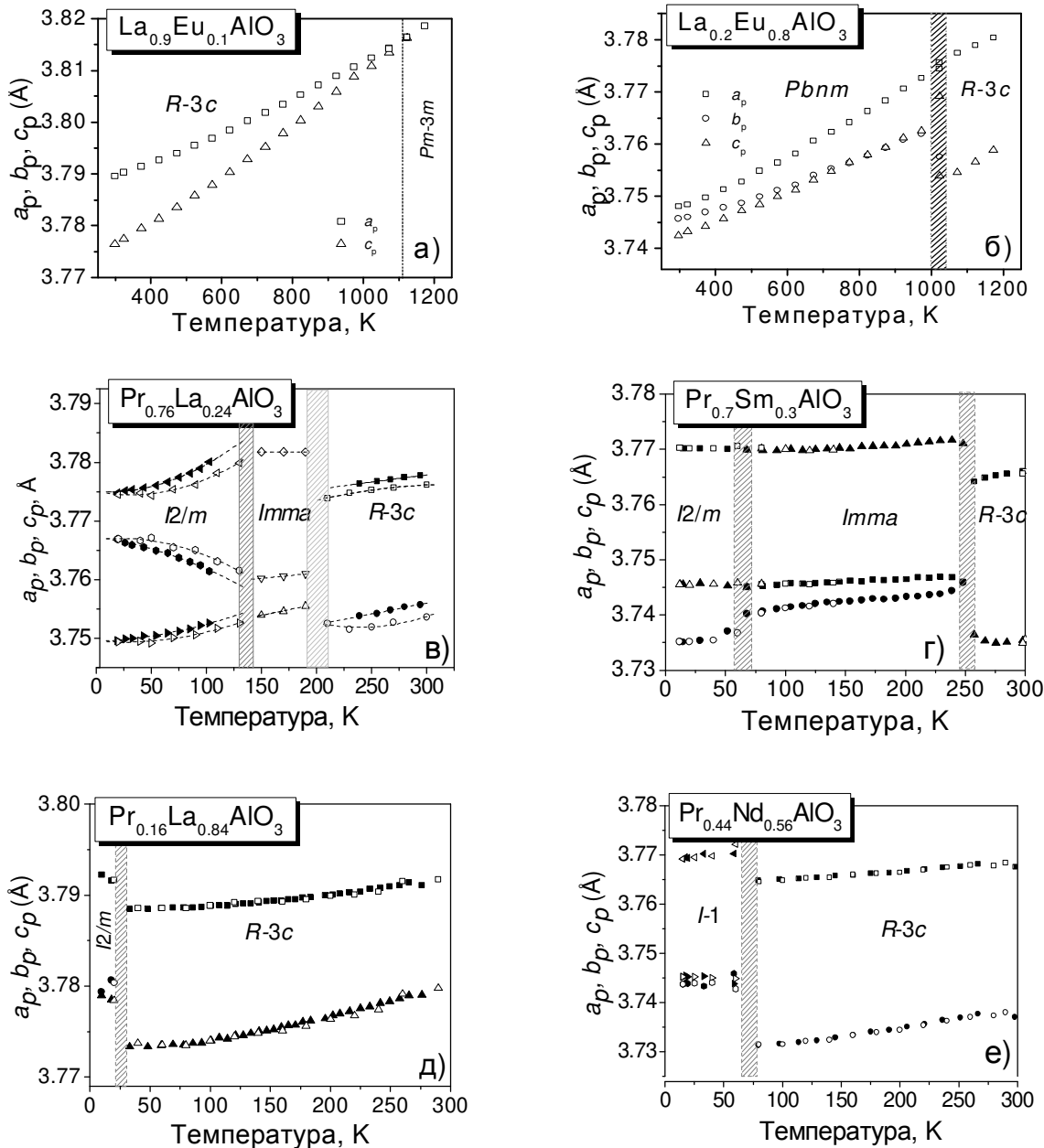


Рис. 3. Температурні залежності структурних параметрів твердих розчинів у системах $\text{LaAlO}_3\text{-RAIO}_3$ та $\text{PrAlO}_3\text{-RAIO}_3$. Параметри ромбоедричної ($R\bar{3}c$), ромбічної ($Imma$), моноклінної ($I2/m$) та триклінної ($I\bar{1}$) комірок приведені до первоскитної псевдокомірки відповідно до співвідношень $a_p=a_r\sqrt{2}$, $c_p=c_r\sqrt{12}$, $V_p=V_r/6$; $a_p=a_o\sqrt{2}$, $b_p=b_o\sqrt{2}$; $c_p=c_o/2$, $V_p=V_o/4$ (для ПГ $Pbnm$) і $a_p=a_o\sqrt{2}$, $b_p=b_o/2$; $c_p=c_o\sqrt{2}$, $V_p=V_o/4$ (для ПГ $Imma$); $a_p=a_m\sqrt{2}$, $b_p=b_m/2$, $c_p=c_m\sqrt{2}$, $V_p=V_m/4$; $a_p=a_t\sqrt{2}$, $b_p=b_t\sqrt{2}$, $c_p=c_t/2$, $V_p=V_t/4$

Кристалографічні характеристики різних модифікацій твердих розчинів $\text{La}_{1-x}\text{R}_x\text{AlO}_3$ та $\text{Pr}_{1-x}\text{R}_x\text{AlO}_3$

	Пара- метри	$\text{La}_{0,2}\text{Eu}_{0,8}$	$\text{La}_{0,9}\text{Eu}_{0,1}$	$\text{La}_{0,9}\text{Eu}_{0,1}$	$\text{Pr}_{0,76}\text{La}_{0,24}$	$\text{Pr}_{0,76}\text{La}_{0,24}$	$\text{Pr}_{0,44}\text{Nd}_{0,56}$	$\text{Pr}_{0,44}\text{Nd}_{0,56}$
	$Pbnm$	$R\bar{3}c$	$Pm\bar{3}m$	$I2/m$	$Imma$	$R\bar{3}c$	$J\bar{1}$	$R\bar{3}c$
	673 K	773 K	1173 K	90 K	170 K	300 K	40 K	290 K
$a, \text{\AA}$	5.31829(9)	5.37889(5)	3.81860(2)	5.34037(8)	5.3180(2)	5.34055(4)	5.3313(1)	5.32930(7)
$b, \text{\AA}$	5.30898(8)	—	—	7.5011(1)	7.5092(3)	—	5.2963(2)	—
$c, \text{\AA}$	7.5062(1)	13.1563(3)	—	5.32459(8)	5.3483(2)	13.0033(1)	7.4881(2)	12.9488(2)
$\alpha, {}^\circ$	90	90	90	90	90	90	90	90
$\beta, {}^\circ$	90	90	90	90.571(1)	90	90	89.964(2)	90
$\gamma, {}^\circ$	90	120	90	90	90	120	90.240(2)	120
\mathbf{R}_s	x $4i y I2/m \text{ та } I-1,$ $4e y Imma,$ $6c y R\bar{3}c, 1b y Pm\bar{3}m$	$-0.0044(2)$ y z $B_{\text{iso}}, \text{\AA}^2$	0 $0.0186(1)$ $\frac{1}{4}$ $1.134(7)$	$\frac{1}{2}$ 0 $\frac{1}{4}$ $1.284(9)$	0 $\frac{1}{2}$ $\frac{1}{2}$ $1.627(8)$	$0.2511(8)$ 0 $\frac{1}{4}$ $0.351(6)$	0 0 $\frac{1}{4}$ $0.59(1)$	$-0.0011(9)$ $0.4991(11)$ $0.2500(9)$ $0.560(8)$
$\mathbf{A}11,$	x y z	$\frac{1}{2}$ 0 0	0 0 0	0 $\frac{1}{4}$ $\frac{1}{4}$	$\frac{1}{4}$ 0 0	0 0 0	0 0 0	0 0 0
$4i y I2/m, 4b y Imma,$	x	$\frac{1}{2}$	0	0	$\frac{1}{4}$	0	0	0
$6b y R\bar{3}c, 1a y Pm\bar{3}m,$	y	0	0	0	$\frac{1}{4}$	0	0	0
$2a y I-1$	z	0	0	0	$\frac{1}{4}$	0	0	0
∞	$B_{\text{iso}}, \text{\AA}^2$	$0.83(3)$	$0.98(4)$	$1.01(3)$	$0.54(3)$	$0.65(4)$	$0.613(9)$	$0.79(1)$
$\mathbf{Al2},$	x y z	$—$ $—$ $—$	$—$ $—$ $—$	$—$ $—$ $—$	$—$ $—$ $—$	$—$ $—$ $—$	0 0 $\frac{1}{2}$	0 0 $—$
$2b y I-1$	$B_{\text{iso}}, \text{\AA}^2$	$—$	$—$	$—$	$—$	$—$	$0.1(7)$	$—$
$O1,$	x y z	$0.054(2)$ $0.4918(15)$ $\frac{1}{4}$	$0.526(2)$ 0 $\frac{1}{4}$	$\frac{1}{2}$ 0 0	$0.214(4)$ 0 $0.229(5)$	0 $\frac{1}{4}$ $0.043(2)$	$0.5385(10)$ 0 $\frac{1}{4}$	$0.050(4)$ $0.019(6)$ $0.255(4)$
$4i y I2/m y I-1,$	x	$—$	$—$	$—$	$—$	$—$	$0.1(7)$	$0.5481(8)$
$4e y Imma,$	y	$—$	$—$	$—$	$—$	$—$	$0.019(6)$	0
$18e y R\bar{3}c, 3d_y$	z	$—$	$—$	$—$	$—$	$—$	$0.255(4)$	$\frac{1}{4}$
$Pm\bar{3}m$	$B_{\text{iso}}, \text{\AA}^2$	$1.5(2)$	$1.33(9)$	$1.21(10)$	$0.7(2)$	$0.9(2)$	$0.43(8)$	$0.4(2)$
$O2,$	x y z	$-0.273(2)$ $0.287(2)$ $0.0281(13)$	$—$ $—$ $—$	$—$ $—$ $—$	0 $0.286(2)$ 0	$\frac{1}{4}$ $\frac{1}{4}$ $0.59(11)$	$0.251(6)$ $0.757(5)$ $-0.031(3)$	$—$ $—$ $—$
$4g y I2/m, 8g y Imma,$	$B_{\text{iso}}, \text{\AA}^2$	$1.4(2)$	$—$	$—$	$0.1(2)$	$—$	$0.7(2)$	$—$
$4i y I-1$	x y z	$—$ $—$ $—$	$—$ $—$ $—$	$—$ $—$ $—$	$\frac{1}{2}$ $0.249(8)$ 0	$—$ $—$ $—$	$-0.274(5)$ $0.772(5)$ $0.473(4)$	$—$ $—$ $—$
$O3,$	x y z	$—$ $—$ $—$	$—$ $—$ $—$	$—$ $—$ $—$	$—$ $—$ $—$	$—$ $—$ $—$	$0.3(2)$	$—$
$4h y I2/m,$	$B_{\text{iso}}, \text{\AA}^2$	$—$	$—$	$—$	$0.33(12)$	$—$	$0.3(2)$	$—$
$4i y I-1$	$B_{\text{iso}}, \text{\AA}^2$	$—$	$—$	$—$	$—$	$—$	$—$	$—$

$$* B(eq) = I/3[B_{11} a^* 2a2 + \dots 2B_{23} b^* c^* b c \cos(\alpha\phi)], * T = \exp[-I/4(B_{11} a^* 2h2 + \dots 2B_{23} b^* c^* k h)],$$

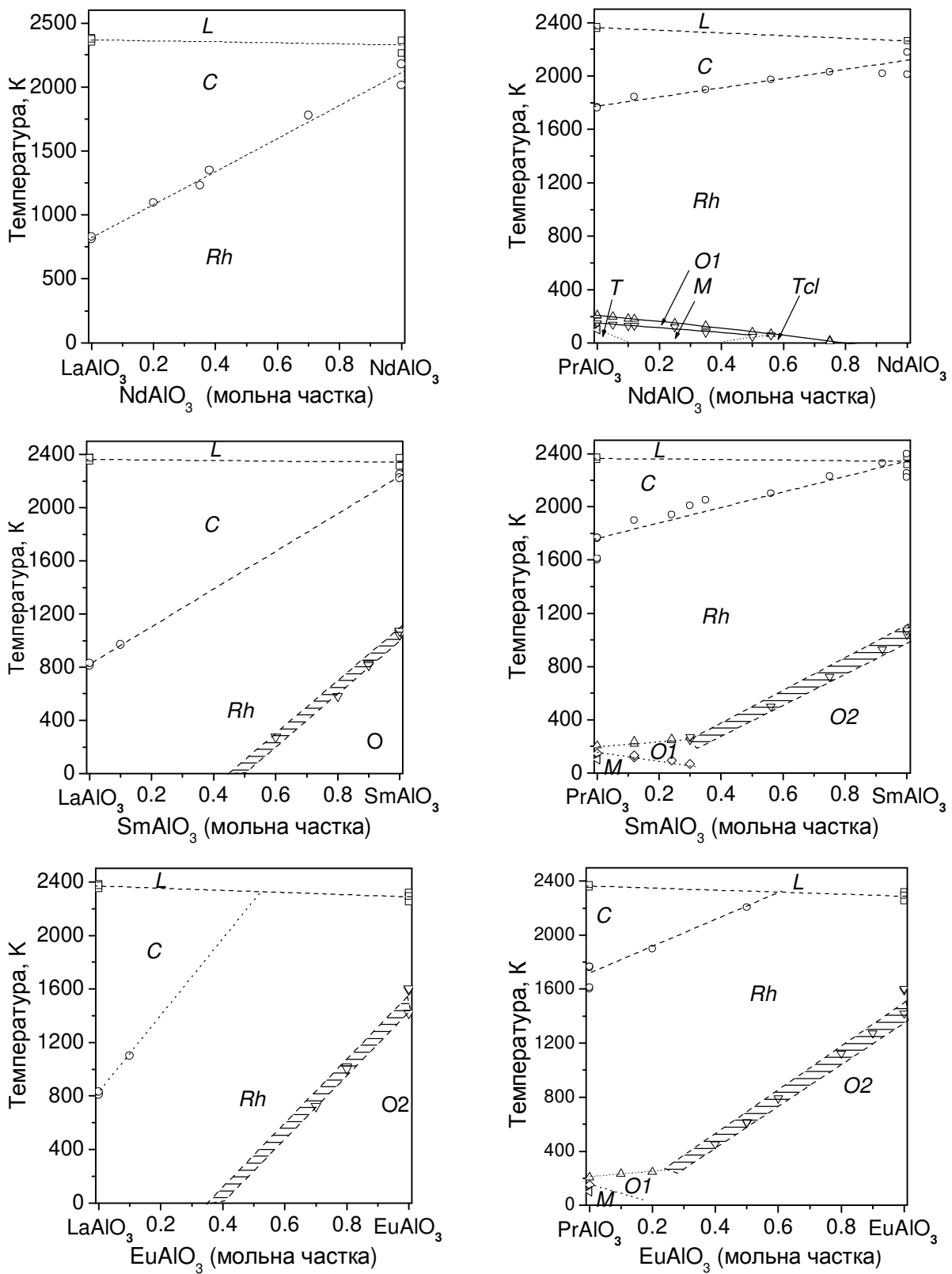


Рис. 4. Фазові діаграми систем $\text{PrAlO}_3\text{-RAlO}_3$ та $\text{LaAlO}_3\text{-RAlO}_3$ ($\text{R}=\text{Nd}, \text{Sm}, \text{Eu}$).
Символами L , C , Rh , $O1$, $O2$, M , T , Tcl позначені області існування рідкої, кубічної, ромбоедричної, двох ромбічних ($I\bar{m}ma$, $Pbmn$), моноклінної, тетрагональної та триклінної фаз відповідно

Використовуючи літературні дані, а також результати експериментальних *in situ* температурних досліджень структури твердих розчинів, побудовані повні або часткові діаграми стану

систем $\text{PrAlO}_3\text{-RAILO}_3$ та $\text{LaAlO}_3\text{-RAILO}_3$ ($\text{R} = \text{Nd}, \text{Sm}, \text{Eu}$) (рис. 4). Фазові перетворення $R\bar{3}c \leftrightarrow Pm\bar{3}m$ та $Pbm\bar{n} \leftrightarrow R\bar{3}c$ пов'язані зі зміною ступеня деформації перовскитної структури і їх температури лінійно спадають із збільшенням радіуса катіонів рідкісноземельних елементів. НТ фазові переходи $R\bar{3}c \leftrightarrow Imma$, $Imma \leftrightarrow I2/m$, $I2/m \leftrightarrow I4/mcm$, $R\bar{3}c \leftrightarrow I2/m$ та $R\bar{3}c \leftrightarrow I\bar{1}$, які спостерігаються лише в системах $\text{PrAlO}_3\text{-RAILO}_3$, виникають внаслідок взаємодії електронних станів іонів Pr^{3+} із фононами кристалічної ґратки, тому їх температури не залежать від середнього радіуса R-катіонів і спадають зі зменшенням вмісту Празеодиму. Однак у твердих розчинах систем $\text{PrAlO}_3\text{-RAILO}_3$ ($\text{R} = \text{Sm-Lu}, \text{Y}$) температура НТ фазового переходу $R\bar{3}c \leftrightarrow Imma$ дещо зростає зі зменшенням концентрації празеодиму.

Висновки

Комбінованим методом твердофазного синтезу та дугової плавки отримано серію зразків складних оксидів в системах $\text{PrAlO}_3\text{-RAILO}_3$ та $\text{LaAlO}_3\text{-RAILO}_3$ ($\text{R} = \text{La-Lu}, \text{Y}$). Досліджено кристалічну структуру, термічну поведінку та фазові перетворення в твердих розчинах $\text{Pr}_{1-x}\text{R}_x\text{AlO}_3$ та $\text{La}_{1-x}\text{R}_x\text{AlO}_3$ в широкому температурному діапазоні 12–1500 К. Методами *in situ* порошкової дифракції синхротронного випромінювання та термічного аналізу встановлено вплив катіонного заміщення на характер та параметри концентраційно- та термічно-індукованих фазових перетворень. На основі отриманих результатів, а також літературних даних побудовані діаграми стану деяких систем $\text{PrAlO}_3\text{-RAILO}_3$ та $\text{LaAlO}_3\text{-RAILO}_3$.

1. Geller S., Bala V. B. *Acta Cryst.* – 1956. – 9. – P. 1019.
2. Howard C.J., Kennedy B.J., Chakoumakos B.C. *J. Phys. Condens. Matter.* – 2000. – 12. – P. 349.
3. Vasylechko L., Senyshyn A., Bismayer U. *Perovskite-type aluminates and gallates, in: Handbook on the Physics and Chemistry of Rare Earths*, ed. K.A. Gschneider Jr., J.-C. Banzil, and V. Pecharsky (Elsevier, Amsterdam) – 2008. – 39. – P. 113.
4. Fujii H., Hidaka M., Wanklyn B.M. *Phase Transition* – 1999. – 70. – C. 115.
5. Moussa S.M., Kennedy B.J., Hunter B.A., Howard C.J., Vogt T. *J. Phys.: Condens. Matter.* – 2001. – 13. – L203.
6. Carpenter M.A., Howard C.J., Kennedy B.J., Knight K.S. *Phys. Rev. B* – 2005. – 72. – 024118.
7. Vasylechko L., Senyshyn A., Trots D., Niewa R., Schnelle W., Knapp M. *J. Solid State Chem.* – 2007. – 180. – P. 1277.
8. Geller S., Raccah P.M. *Phys. Rev. B* – 1970. – 2(4) – P. 1167.
9. Kennedy B.J., Howard C.J., Prodjosantoso A.K., Chakoumakos B.C. *Appl. Phys. A* – 2002. – 74.. – C. s1660.
10. Glynn T.J., Harley R.T., Hayes W., Rushworth A.J., Smith R.H. *J. Phys. C: Solid State Phys.* – 1975. – 8. – L126.
11. Basyuk T., Vasylechko L., Syvorotka I., Schmidt U., Trots D., Niewa R., *Phys. Status Solidi C*. – 2009. – 6(5). – P. 1008.
12. Nordland W.A., Van Uitert L.G. *J. Phys. Chem. Solids*. – 1970. – 31(6). – P. 1257.
13. Brusset H., Gillier-Pandraud Mme H. *Mat. Res. Bull.* – 1975. – 10. – P. 481.
14. Басюк Т.В., Василечко Л.О., Сиворотка І.І., Федорчук А.О., Фадеев С.В. // Вісн. Нац. ун-ту “Львівська політехніка”. – 2008. – № 619: Електроніка. – C. 61.
15. Akselrud L.G., Zavalij P.Yu., Grin Yu., Pecharsky V.K., Baumgartner B., Woelfel E. *Materials Science Forum*. – 1993. – 335. – P. 133.